

การประดิษฐ์เชลแสงอาทิตย์แบบหัวต่อ พีเอ็น จากแวนฟลิกกอนชื่มีสภาพผิวขำรุคต่างๆ กัน



นาย ชุมพล อันตรเสน

000696

วิทยานิพนธ์นี้ เป็นส่วนหนึ่งของการศึกษาตามหลักสูตรปริญญาวิศวกรรมศาสตรมหาบัณฑิต
ภาควิชาวิศวกรรมไฟฟ้า

บัณฑิตวิทยาลัย จุฬาลงกรณ์มหาวิทยาลัย

พ.ศ. 2523

๑๕๕๓๑๓๘

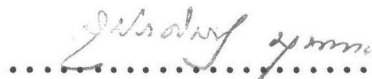
THE FABRICATION OF P-N JUNCTION SILICON SOLAR CELLS ON WAFERS
HAVING DIFFERENT SURFACE DAMAGES.

Mr. Choompon Antarasana

A Thesis Submitted in Partial Fulfillment of the Requirements
for the Degree of Master of Engineering
Department of Electrical Engineering
Graduate School
Chulalongkorn University
1980

หัวข้อวิทยานิพนธ์	การประดิษฐ์เซลล์แสงอาทิตย์แบบหัวต่อหัวต่อชีวี เนื่องจากแวนเพล็กซ์กิลิกอนซึ่งมีสภาพผิว ข้ารุคต่างๆ กัน
โดย	นาย ชุมพล อันตรเสน
ภาควิชา	วิศวกรรมไฟฟ้า
อาจารย์ที่ปรึกษา	ผู้ช่วยศาสตราจารย์ ดร.สมศักดิ์ ปัญญาแก้ว

บัณฑิตวิทยาลัย จุฬาลงกรณ์มหาวิทยาลัย อนุมัติให้นับวิทยานิพนธ์ฉบับนี้ เป็นส่วนหนึ่งของการ
ศึกษาตามหลักสูตรปริญญามหาบัณฑิต

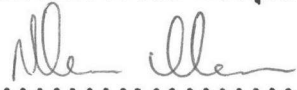
 คณบดีบัณฑิตวิทยาลัย

(รองศาสตราจารย์ ดร.สุประดิษฐ์ บุนนาค)

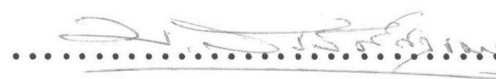
คณะกรรมการสอบวิทยานิพนธ์

 ประธานกรรมการ

(ผู้ช่วยศาสตราจารย์ ดร.สุวิน เวทย์วัฒนະ)

 กรรมการ

(ผู้ช่วยศาสตราจารย์ ดร.สมศักดิ์ ปัญญาแก้ว)

 กรรมการ

(อาจารย์ ดร.มนตรี สวัสดิ์ศฤงฆาร)

 กรรมการ

(ดร.มนูญ อรุ่ำรัตน์)

ลิขสิทธิ์ของบัณฑิตวิทยาลัย จุฬาลงกรณ์มหาวิทยาลัย

หัวข้อวิทยานิพนธ์	การประดิษฐ์เซลล์แสงอาทิตย์แบบหัวต่อ ฟีเอ็น จากแวนผลึกชิลิกอนซึ่งมีสภาพผิวชำรุดต่างๆ กัน
โดย	นาย ชุมพล อันตรเสน
ภาควิชา	วิศวกรรมไฟฟ้า
อาจารย์ที่ปรึกษา	ผู้ช่วยศาสตราจารย์ ดร.สมศักดิ์ บัญญาแก้ว
ปีการศึกษา	2522

บทคัดย่อ



แวนผลึกชิลิกอนถูกเตรียมผิว 2 รูป คือ ชุดผิวด้านมันด้วยมือบนกระจาด กับชุดผิวด้านหยาบด้วยเครื่องขัดบนผ้า โดยใช้ผงขัดขนาดและเวลาต่างๆ กัน และวัสดุสภาพผิวที่ได้ไปศึกษาคุณสมบัติทางแสง โดยการวัดค่าการสะท้อนแสงด้วยแสงเลเซอร์ ความยาวคลื่น 6328 Å ปรากฏว่า ผิวด้านกระจาดมีค่าการสะท้อนแสงเป็นศูนย์เกือบทุกตัวอย่าง ส่วนผิวด้านหยาบด้วยเครื่องขัดบนผ้ามีค่าการสะท้อนแสงลดลงสัมภัติ 0.94 ถึง 0.23 และมีค่าเป็นศูนย์สำหรับผิวแบบ Cellular Structure จากนั้นนำแวนผลึกที่เตรียมผิวไว้ทุกตัวอย่างไปปั๊มที่กีฬาด้วยกล้องจุลทรรศน์กำลังขยาย 800 เท่า เพื่อศึกษา Macrosopic Damage ที่เกิดขึ้น ปรากฏว่า แวนผลึกชุดมีสภาพผิวชำรุด เกิดขึ้น ส่วนชุดหลังมีลักษณะของ Cellular Structure ต่างๆ กันไป ต่อจากนั้นนำแวนผลึกทุกตัวอย่างที่เตรียมไว้ไปทดลองประดิษฐ์เป็นเซลล์แสงอาทิตย์แบบหัวต่อฟีเอ็นหรือเอ็นฟี และแต่ละนิดของแวนผลึกเริ่มต้น ผลปรากฏว่า เชลฯ ที่ทำจากแวนผลึกที่เตรียมผิวด้วยการขัดผิวด้านหน้าบนกระจาด เมื่อใช้ผงขัดขนาดเล็ก มีค่ากระแสสัตว์จรสูงขึ้น (8.3 mA ถึง 9 mA สำหรับเชลฯ ชนิดเอ็นฟี และ 8.6 mA ถึง 11 mA สำหรับเชลฯ ชนิดฟีเอ็น) ส่วนเชลฯ ที่ทำจากแวนผลึกที่เตรียมผิวด้วยการขัดผิวด้านหน้าบนกระจาด เมื่อใช้ผงขัดขนาดใหญ่ มีค่ากระแสสัตว์จรต่ำลง (9.0 mA ถึง 5.8 mA สำหรับเชลฯ ชนิดเอ็นฟี และ 11 mA ถึง 4.5 mA สำหรับเชลฯ ชนิดฟีเอ็น) สำหรับค่าแรงดันวงจรเป็น ค่าฟิล์มเฟคเตอร์ และประสิทธิภาพของเชลฯ มีค่าต่ำลงเมื่อใช้ผงขัดขนาดโตขึ้น เชลฯ ที่ทำจากแวนผลึกชุดหลังจะมีลักษณะสมบัติกระแสง-แรงดันใหม่อนกัน และประสิทธิภาพเกือบทุกตัวอย่าง

Thesis Title The Fabrication of P-N Junction Silicon Solar Cells
 on Wafers Having Different Surface Damages.

Name Mr. Choompon Antarasana

Thesis Advisor Assistant Professor Somsak Panyakeow, Ph.D

Department Electrical Engineering

Academic Year 1979.

ABSTRACT

The surface of silicon wafers was prepared by 2 methods, i.e. a manually lapping of polished surface (front side) on glass-plate and a mechanical lapping of lapped surface (back side) on a piece of cloth with different sizes of abrasive powder and lapping durations. The reflectivity of lapped surfaces was measured by using a laser beam (6328 Å). The experimental results indicate that no reflection was found for nearly all the samples lapped on the glass-plate, but the reflectivity gradually decreases from 0.94 to 0.23 for those lapped on cloths. No reflection was also observed for the surface with cellular structure. The investigation through microscope with magnification of 800 showed that there were a surface damage on the samples prepared by the former method but only different cellular structures were observed on those samples prepared by the latter method. PN junction solar cells were fabricated by using those wafers prepared by both methods as starting material. Solar cells lapped on glass-plate using small powder showed an improved short circuit current (from 8.3 mA to 9 mA for NP structures and from 8.6 mA to 11 mA for PN structures) but a degraded short circuit

current (from 9 mA to 5.8 mA for NP structures and from 11 mA to 4.5 mA for PN structures) as number of surface damages increased. The value of open circuit voltage, fill factor and efficiency of the solar cells become less as the surface damages increased. However, nearly unchange characteristics and efficiency were observed for those solar cells mechanically lapped on cloths.

สารบัญ

	หน้า
บทคัดย่อภาษาไทย	๗
บทคัดย่อภาษาอังกฤษ	๘
กิจกรรมประจำภาค	๙
รายการตารางประกอบ	๑๐
รายการรูปประกอบ	๑๑
บทที่	
1. บทนำ	1
2. ทฤษฎี	3
โครงสร้างและนิยามพื้นฐานของเซลล์แสงอาทิตย์	3
การเกิดกระแสทางแสง	5
ลักษณะสมบัติของเซลล์แสงอาทิตย์แบบหัวต่อฟีเอ็น	17
ประสิทธิภาพของเซลล์แสงอาทิตย์	24
ผิวชั้นนอกและผลต่อคุณสมบัติทางไฟฟ้า	25
ตัวโลเคชันและผลต่อคุณสมบัติทางไฟฟ้า	31
3. วิธีทดลอง	36
การสร้างเครื่องมือ เตรียมผิวแวนแฟลิก	36
การบำรุงรักษา	44
การเตรียมผิวแวนแฟลิก	44
การวัดการสะท้อนแสงจากผิวชั้นนอก	47
การถ่ายภาพสภาพผิวชั้นนอกด้วยกล้องจุลทรรศน์	47
การทดลองสร้างเซลล์แสงอาทิตย์แบบหัวต่อฟีเอ็นจากแวนแฟลิก ที่มีสภาพผิวชั้นนอกต่างๆ	47

สารบัญ (ต่อ)

	หน้า
การวัดทางลักษณะสมบัติของเซลล์แสงอาทิตย์	49
ปัจจัยในภารททดลอง	49
4. ผลการทดลอง	50
ผลการวัดการสะท้อนแสงจากผิวชั้นนอก	50
สภาพผิวชั้นนอกต่างๆ ที่ถ่ายจากกล้องจุลทรรศน์	51
ลักษณะสมบัติกระแสง-แรงดันของเซลล์แสงอาทิตย์	57
5. วิเคราะห์ผลการทดลอง	61
ลักษณะของผิวชั้นนอก และผลตอบสนองทางแสง	61
ลักษณะสมบัติกระแสง-แรงดันของเซลล์แสงอาทิตย์	63
ประสิทธิภาพของเซลล์แสงอาทิตย์	67
6. สรุปผลการทดลอง	69
เอกสารอ้างอิง	71
ประวัติ	74



กิติกรรมประกาศ

วิทยานิพนธ์ฉบับนี้ สำเร็จลงได้ด้วยความช่วยเหลือและคำแนะนำจาก ผศ.ดร.สุกิน เวทีรักนัน พศ.ดร.สมศักดิ์ ปัญญาแก้ว อาจารย์ ดร.มนตรี ลัวศรีศุงขาร และ ดร.มนูญ อรุณรัตน์ มาด้วยศิโถยตลอด ซึ่งผู้เขียนขอขอบพระคุณเป็นอย่างสูงไว้ ณ ที่นี่

ผู้เขียนขอขอบคุณ เจ้าหน้าที่ประจำห้องปฏิบัติการลิ่งประดิษฐ์สารกึงตัวนำ เจ้าหน้าที่ประจำโรงฝึกงาน เจ้าหน้าที่ห้องธุรการ ในด้านการอำนวยความสะดวก การใช้เครื่องมือ ตลอดจนงานธุรการต่างๆ

ท้ายสุดนี้ผู้เขียนขอขอบคุณต่อบุคลากรวิชาชีพ แลห้องปฏิบัติการลิ่งประดิษฐ์สารกึงตัวนำ ในการให้ทุนสำหรับการวิจัยแก่ผู้เขียนเป็นอย่างมาก

รายการตารางประกอบ

หน้า

ตารางที่

1. แสดงค่าคงที่ต่างๆ ของเซลฯ ที่จากแวนฟลีกชิลิกอน.....	11
2. ส่วนแรกซึ่ดผิวต้านน้ำด้วยมือบนกระดาษ.....	45
3. ส่วนหลังซึ่ดผิวต้านหลังด้วยเครื่องซัดบนผ้า.....	46
4. แสดงค่า Specular Reflection ของผิวซัดบนกระดาษด้วยมือ	50
5. แสดงค่า Specular Reflection ของผิวซัดบนผ้าด้วยเครื่องซัด	51
6. ค่าของตัวหลักสำหรับที่ได้จากการทดลองจากเซลฯ ที่ประดิษฐ์จากผิวซัด บนกระดาษด้วยมือ	58
7. ค่าของตัวหลักสำหรับที่ได้จากการทดลองจากเซลฯ ที่ประดิษฐ์จากผิวซัดบน ผ้าด้วยเครื่องซัด	60

รายการรูปประกอบ

หน้า

รูปที่

1. โครงสร้างของเซลล์แสงอาทิตย์.....	4
2. ลักษณะสมบัติการแสง-แรงดัน ของเซลล์แสงอาทิตย์.....	4
3. การลดค่าความหนาแน่นของโฟตอนเมื่อสารกึ่งตัวนำนา X	6
4. แสดงค่า Intrinsic Absorption Coefficient ของ Si.....	6
5. แสดงลักษณะการเกิดการแสง-แรงดัน.....	7
6. ผลตอบสนองทางแสงภายใต้แสงอาทิตย์.....	10
7. ผลตอบสนองทางแสงภายใต้แสงอาทิตย์แบบแบนแบบแยกส่วน.....	12
8. Relative Spectral Response ของเซลล์ซิลิกอนแบบเอ็นพี	13
9. สเปกตรัมของแสงอาทิตย์ในช่วง 100 Å Bandwidth.....	14
10. ค่ากรอบแสงอาทิตย์ในอุณหภูมิ.....	15
11. แสดงค่ากรอบแสงอาทิตย์ AM0 กับความสีกของหัวต่อ	15
12. แสดงค่ากรอบแสงอาทิตย์ AM2 กับความสีกของหัวต่อ	16
13. แสดงค่ากรอบแสงอาทิตย์ AM0 กับค่าความต้านทานฐานและความสีกของหัวต่อ	16
14. แสดงลักษณะการเกิดการแสงของหัวต่อพีเอ็น เมื่อถูกไฟแสดง.....	18
15. วงจรสมมูลย์เซลล์แสงอาทิตย์.....	20
16. ผลของความต้านทานอนุกรมต่อลักษณะสมบัติของเซลล์	21
17. ผลของความต้านทานขนาดต่อลักษณะสมบัติของเซลล์	21
18. ลักษณะสมบัติแรงดันกระแสเมื่อไม่มีแสง	22
19. แสดงความสัมพันธ์ระหว่าง Inherent Efficiencies ที่ AM0 กับความเร็วแห่งการรวมตัวที่ผิว	23

รายการรูปประกอบ (ต่อ)

หน้า

รูปที่

20. แสดงผลของความต้านทานอนุกรมต่อประสิทธิภาพของเหล็ก ที่ AMO.....	23
21. แสดงผลของความต้านทานขนานต่อประสิทธิภาพของเหล็ก.....	24
22. รูปแบบของผิวชำรุด	26
23. แสดงการสะท้อนแสงจากผิวเรียบ.....	26
24. แสดงความสัมพันธ์ระหว่างขนาดของผงชีด กับความลึกของผิวชำรุด	29
25. แสดงความสัมพันธ์ระหว่างความเร็วแห่งการรวมตัวที่ผิวกับความลึก ของผิวชำรุดที่กัดออกด้วยสารเคมี.....	29
26. ผลของผิวชำรุด ต่อลักษณะสมบัติกระแทก-แรงดันทางด้านในและยืด กลับของหัวต่อฟี-เอ็น.....	30
27. แสดงความสัมพันธ์ระหว่างความยาวแห่งการแพร์ซึมกับความหนา ของผิวชำรุดที่กัดออก	30
28. EF คือ Edge Dislocation.....	32
29. EF คือ Screw Dislocation.....	32
30. ความเร็วของสกปรกสีโลเคชั่น เมื่อ Shear Stress เพิ่มขึ้น.....	33
31. แสดงความสัมพันธ์ระหว่างค่าข่วงชีวิต กับความหนาแน่นศีลโลโคชั่น.....	33
32. แสดงค่าความต้านทานเทียบกับอุณหภูมิ.....	34
33. แสดงลักษณะสมบัติกระแทก-แรงดันของหัวต่อฟี-เอ็นทางด้านในและ ย้อนกลับ	35
34. แสดงตำแหน่งของแรงต่างๆ ที่กระทำกับฐานเยด แวนผลีก	37
35. แสดงส่วนประกอบต่างๆ ของเครื่องขัดแบบแยกส่วน	38

รายการรูปประกอบ (ต่อ)

หน้า

รูปที่

36.	กรรมวิธียืดแวนพลีก	40
37.	แสดงรูปร่างลักษณะของเครื่องซีดที่เตรียมพร้อมแล้ว	42
38.	ลักษณะของเครื่องซีดที่วางฐานยืดแวนพลีกเรียบร้อยแล้ว	43
39.	รูปแบบข้าไฟฟ้าทางค้านผิวรับแสง	49
40.	ภาพถ่ายลักษณะผิวที่ได้จากการซัดด้วยมือบนกระจาก	52
41.	ภาพถ่ายลักษณะผิวที่ได้จากการซัดด้วยเครื่องซีดบนผ้า	54
42.	แสดงลักษณะสมบัติกราฟ-แรงตัวของเชลฯ เอ็น-พีทำจากแวนพลีก ชิลิกอนเมื่อไม่มีแสง	57
43.	แสดงลักษณะสมบัติกราฟ-แรงตัวของเชลฯ เอ็น-พีทำจากแวนพลีก ชิลิกอนเมื่อมีแสง	58
44.	แสดงลักษณะสมบัติกราฟ-แรงตัวของเชลฯ เอ็น-พีทำจากแวนพลีก ชิลิกอนเมื่อไม่มีแสง	59
45.	แสดงลักษณะสมบัติกราฟ-แรงตัวของเชลฯ เอ็น-พีทำจากแวนพลีก ชิลิกอนเมื่อมีแสง	59
46.	รูปแบบสภาพผิวชำรุดขณะที่มีแสงตกกระทบ	62
47.	รูปแบบสภาพผิวแบบ Cellular Structure ขณะที่มีแสงตกกระทบ	63
48.	แสดงความสัมพันธ์ระหว่างกราฟทางแสงกับขนาดของผงซีด	64
49.	แสดงความสัมพันธ์ระหว่างแรงตัวของเจริญกับขนาดของผงซีด	65
50.	แสดงความสัมพันธ์ระหว่างฟิล์มแฟลกเตอร์กับขนาดของผงซีด	65
51.	แสดงของอยู่ในเนียมแพร์ซีมเข้าสู่แวนพลีกชิลิกอน	66
52.	แสดงความสัมพันธ์ระหว่างประสิทธิภาพของเชลฯ กับขนาดของผงซีด	68